

JPEG/H.264 トランスコーダにおけるイントラ予測モード決定手法

Intra Prediction Mode Decision for JPEG/H.264 Transcoding

草野 勝大† 工藤 大樹† 西川 博文† 和田 稔† 加藤 嘉明†
 Katsuhiro Kusano Daiki Kudo Hirofumi Nishikawa Minoru Wada Yoshiaki Kato

1. はじめに

監視映像やデジタルカメラにおいて、JPEG を連続して表示することで動画像とする Motion-JPEG 形式が採用されている。JPEG などの画像符号化方式では、離散コサイン変換(DCT)が用いられている。一方、動画像符号化方式の一つである H.264[1]は、画像領域上で予測を行うイントラ予測が採用されており、JPEG に比べて高い符号化効率が実現可能である。上記の理由から、ストレージ量の削減、長時間コンテンツの長期間保存などのため、Motion-JPEG を H.264 へと変換したいという需要があると予想される。しかし、JPEG から H.264 へと変換する際に、イントラ予測モード決定のために多くの計算量が必要となってしまう。本稿では、JPEG の DCT 係数情報を利用した、イントラ予測モード決定手法を提案し、その性能を評価する。

2. JPEG/H.264 トランスコーダ

図 1 は、JPEG/H.264 イントラトランスコーダの構成を示したものである。これは JPEG デコーダと H.264 イントラエンコーダを直列接続したものである。図 1 は最も単純な構成で、全ての予測モードに対してコストを計算することで、H.264 イントラエンコーダにおける、最も少ない符号量での符号化が可能となるが、処理量が膨大となってしまう。

イントラ予測は画像空間における予測方法であり、9種類の 4×4 ブロック単位の予測方式(以下、 4×4 イントラ予測)と 16×16 ブロック単位の予測方式(以下、 16×16 イントラ予測)が採用されている。 4×4 イントラ予測では、図 2(a)に示すように符号化対象ブロックの各画素 $a \sim p$ は、隣接画素 A~M を用いて予測符号化される。予測方法は図 2(b)に示すように予測方向のモードに従って定義されている。モード 2 は DC 予測である。

JPEG の DCT 係数は画像の空間的特徴を示しており、イントラ予測モード決定の一つの指標になると考えられる。[2]や[3]などでは、DCT 係数などの周波数成分を利用し、イントラ予測モードの決定における処理量を低減する手法が検討されている。 16×16 ブロック内の周波数成分のみを利用しておらず、ブロック周辺の被予測画素についても検討されていない。本稿では、被予測画素の周波数成分を利用した、高精度かつ高速なイントラ予測モード決定手法を提案する。

3. 提案手法

本章では、JPEG デコード時に取得した DCT 係数及び画素値から、イントラ予測モードを決定する方法について述べる。図 3 は本手法の JPEG/H.264 イントラトランスコーダを示したもので、イントラ予測モード決定部において

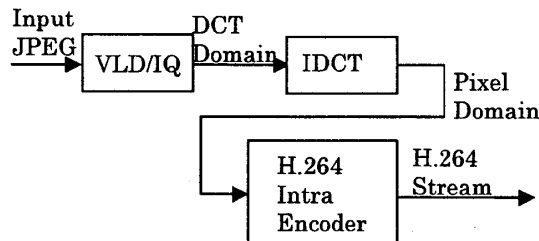


図 1 JPEG/H.264 イントラトランスコーダ

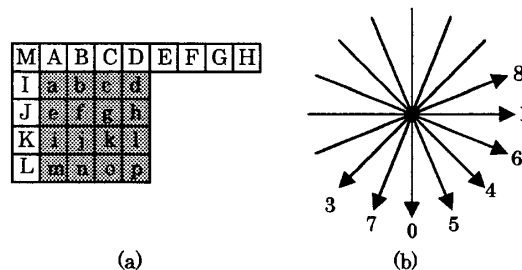


図 2 4×4 イントラ予測

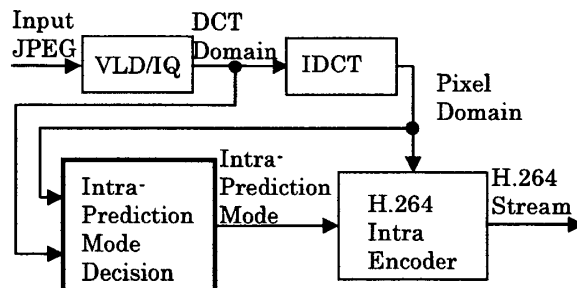


図 3 JPEG/H.264 イントラトランスコーダ(提案手法)

H.264 エンコーダで用いる予測モードを決定する。

まず、図 4 に示すような、符号化対象 16×16 ブロックの周辺ブロックのうち、上部ブロックの最下部の垂直周波数成分と左部ブロックの最右部の水平周波数成分を算出する。

算出した垂直周波数成分、水平周波数成分と 16×16 ブロック内の DCT 係数の DC 成分、垂直周波数成分、水平周波数成分より直流成分コスト C_{DC16} 、垂直成分コスト C_{V16} 、水平成分コスト C_{H16} を算出する。

16×16 イントラ予測モードの決定は以下の通りである。

- モード 0 : $C_{V16} \leq T_{V16}$, $C_{H16} > T_{H16}$
- モード 1 : $C_{V16} > T_{V16}$, $C_{H16} \leq T_{H16}$
- モード 2 : $C_{DC16} \leq T_{DC16}$, $C_{V16} \leq T_{V16}$, $C_{H16} \leq T_{H16}$
- モード 3 : $C_{DC16} > T_{DC16}$, $C_{V16} \leq T_{V16}$, $C_{H16} \leq T_{H16}$
- 4×4 イントラ予測 : $C_{V16} > T_{V16}$, $C_{H16} > T_{H16}$

†三菱電機株式会社

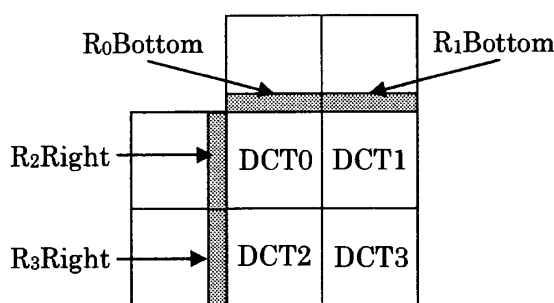


図4 16×16 ブロックと周辺 8×8 ブロック

4×4 イントラ予測が選択された場合は、図2のa~pの画素に、周辺画素であるA~D、I~Mを加えた5×5ブロックを新しく構成する。この5×5ブロックに式(1)の5×5のDCTを施し、5×5ブロックにおけるDCT係数を算出する。

$$F(u, v) = \frac{2}{5} C(u) C(v) \sum_{x=0}^4 \sum_{y=0}^4 f(x, y) \cos \frac{\pi(2x+1)u}{10} \cos \frac{\pi(2y+1)v}{10}$$

$$C(u), C(v) = \begin{cases} 1/\sqrt{2} & (u, v = 0) \\ 1 & (u, v \neq 0) \end{cases} \quad \cdots (1)$$

算出した5×5DCT係数よりブロック内のエッジの角度θを求める。

$$E_{V5} = \sum_{j=1}^4 F(0, j), \quad E_{H5} = \sum_{i=1}^4 F(i, 0) \quad \cdots (2)$$

$$\theta = \arctan(E_{V5}/E_{H5}) \quad \cdots (3)$$

$$\theta = \begin{cases} \theta & F(0,1)F(1,0) \geq 0 \\ -\theta & F(0,1)F(1,0) < 0 \end{cases} \quad \cdots (4)$$

E_{V5}, E_{H5} が両者とも小さい場合は、モード2を選択し、それ以外の場合は、図2の4×4予測モードのうちエッジの角度θに最も近いモードとその両隣のモードを選択する(モード1が選択された場合は、1,6,8)。予測モードは、画像内に同じ方向のエッジがあったときに、そのモードにおいて高い予測効率が得られる可能性が高くなるので、上記処理により、高効率なイントラ予測モード決定が可能となる。選択された3モードの予測コストを計算し、最も予測コストが小さいものを4×4ブロックの予測モードとする。

4. 評価実験

提案手法の有効性を確認するため、計算機シミュレーションを行い、画質、符号量、H.264エンコード処理時間(予測モード決定時間を含む)の3つの項目について評価した。画質は、JPEGデコード後の画像とH.264符号化後の画像との比較で評価する。入力JPEGはCIFサイズのYUV画像"Foreman", "Football", "Mobile&Calender"を量子化レベル50でJPEG符号化したもので、フレーム数は100である。H.264の符号化条件は表1に示す。実験に用いたPCの環

表1 H.264 符号化条件

プロファイル	Baseline Profile
QP	28, 32, 36, 40 (固定)
GOP構造	ALL Intra-Frame
RDOptimization	On

表2 シミュレーション結果

Sequence	ΔBitrate [%]	ΔPSNR [dB]	ΔTime [%]
Foreman	8.66	-0.22	-55.4
Football	5.79	-0.21	-51.9
Mobile&calender	4.30	-0.18	-51.1

境は、Intel Core 2 Duo E6850 3.0GHz, WindowsXP, Visual Studio 2005である。

図1において、H.264イントラエンコーダにJM14.0[4]を用いた構成との比較を行った。結果を表2に示す。ΔBitrate, ΔTimeは、JMを基準とした場合の増加割合の平均値を、ΔPSNRは変化差分の平均値を表している。

結果より、JMに対して50%以上処理量を削減できていることがわかる。PSNRに関しても、0.2dB前後とほとんど低下しておらず、提案手法が有効であることがわかる。しかし、"Foreman"においてビットレートの増加分が大きくなっている。これは、5×5ブロックでのDCTに、図2のE~Hまでの画素が含まれておらず、モード3や7の選択が誤っていることが原因として挙げられる。例えば、E~Hの画素値がa~pの画素値と大きく異なっていても、5×5ブロック内のエッジがモード3や7の方向に存在する場合、モード3や7を選択してしまうためである。

5. まとめ

本稿では、JPEGデコード時に取得したDCT係数及び画素値から、それぞれ新たに周波数成分を算出し、これをもとにイントラ予測モードを決定する手法を提案した。提案手法において、従来方式とほぼ同等の符号化効率を保ちつつ、処理量の削減が可能であることを確認した。今後は更なる符号化効率改善及び高速化について検討していく。また、今回はJPEG/H.264イントラへの変換を行ったが、同じく離散コサイン変換が用いられているMPEG-2からの変換に関してもその効果を確認していきたい。

参考文献

- [1] ITU-T Rec. H.264, "Advanced video coding for generic audiovisual services," Nov. 2007
- [2] H. Kato, Y. Takishima, Y. Kaji, "Fast Intra Mode Decision Method For MPEG to H.264 Transcoding," ICIP 06, pp.833-836
- [3] X. Tang, Q. Du, S. Shang, "Fast Intra Prediction Mode Decision for MPEG-2 to H.264 Transcoding," ICME 07, pp. 428-431
- [4] Joint Video Team(JVT), "Reference Software JM14.0," <http://ipheme.hhi.de/suehring/tm/>